

九州大学工学部 正員 内田一郎

・ 学生員 平田登基男

・ 潤井勉, 海老原雄志

1. はじめに 盛土道路に交通荷重等が作用すると、盛土斜面は斜め上方から荷重を受けて破壊の危険にさしかかる。交通荷重のように、繰り返し作用する荷重以外に、構造物を建造した場合もそうである。こりようすに盛土斜面が上部載荷によつてどのような変形を生じ、破壊するかを調べるために単純斜面の中型模型を作製して上面端部に帶状荷重を静的に作用させて、載荷試験を行なつた。今回は破壊形状と破壊進行状態についてについて、従来考へ方より比較検討を行なつたので報告する。

2. 試料と実験装置 試料として用いた土は福岡市城山原産と筑紫野市針摺りうるつ二種類といずれもマツヒである。その物理的性質などは表-1に示す。なお試験方法はすべてJISによつた。また締固め試験はこれにJIS-R2111によつた。実験には60tのアルミを通過したものを用いた。

実験装置は側面無し横幅高さが2.0m×2.0m²と、2.35m×1.0m×1.0m²の二種類のもので、いずれも前面に厚さ10cmの強化ガラスを有するメントコンクリート槽である。

載荷装置は油圧シリンダーにて載荷板に圧力を伝達するもので載荷容量は10tである。載荷板は幅15cmのチャンネルを有した。しかし、せんげん荷重を確実に等分布下が生じない不安であつたので厚さ×幅×長さが35cm×15cm×2.0m²の鋼板を内部に埋め補強を行なつた。

3. 実験方法 供試体形状寸法と試料の差異からニッタイアに分けた。それを表-2のようにしてSS-I(I=1,2,3,4)とLS-I(I=1,2,3)とする。試料A含水比はニッタイアよりは約10%に、LS-Iアよりもは約19%に調整した。ただしLS-3は約16%であった。

供試体作製は締固め試験結果を参考にし、一画り締固め量を仕上がり厚さが10cmになるように。

表-1 試料土の物理及ぶ力学的性質

| 試料名 | 採取地 | 土粒子の比重G _s | 粒度分析(%) | | | 均等係数 | |
|-----|-------------|----------------------|---------|------|------|------|------|
| | | | き分 | 砂分 | 泥分 | | |
| A | 福岡市 城山原産 | 2.64 | 13.5 | 55.0 | 21.5 | 10.0 | 5.6 |
| B | 筑紫野市 針摺り | 2.69 | 12.2 | 61.4 | 20.4 | 6.0 | 10.0 |

| 曲率半径(m) | 液性限界(%) | 塑性指数 | 最大含水比 | | 最大乾燥密度g/cm ³ | 統一一分類法 |
|---------|---------|------|-------|------|-------------------------|--------|
| | | | 自然状態 | 击实状态 | | |
| 2.7 | 39.1 | 7.7 | 16 | 17.3 | 1.81 | SM |
| 1.4 | 38.5 | 6.7 | 16 | 17.4 | 1.81 | SM |

表-2 供試体形状寸法

| 供試体名称 | SS-1 | SS-2 | SS-3 | SS-4 | LS-1 | LS-2 | LS-3 |
|--------------------|---------|---------|---------|---------|---------|---------|---------|
| 試料名 | A | A | A | A | B | B | C |
| 盛高さh(cm) | 60 | 60 | 60 | 60 | 60 | 60 | 60 |
| 法線から載荷板距離L(cm) | 0 | 10 | 20 | 20 | 20 | 20 | 20 |
| 上底実行下底 (L+2h)cm | 60×2440 | 60×2440 | 60×2440 | 60×2440 | 60×1603 | 60×1603 | 60×1603 |

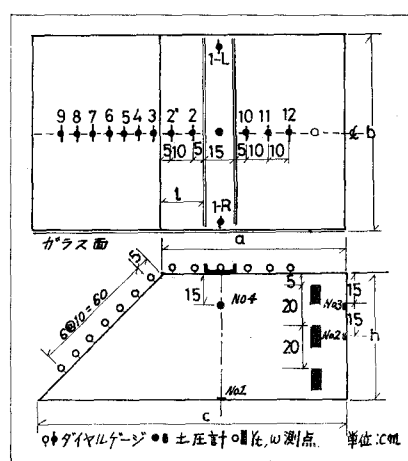


図-1 供試体形状寸法、土圧計、ダイヤルゲージ等の配置図(SS-3)

一定重量コンクリートアリカラは220kg、L型タイアルカラリは230kgをランマー(重量約180kg)底面積23×
23cm²、高さより自由落下させて一ヵ所当たり五回ずつ実施めた。そして直方体状の供試体をコンクリート槽内に作り、それをショベルやエッヂなどで整形し、斜面および上面を作った。

載荷は荷重制御方法をとり、平板載荷試験に準じた。測定項目は、土圧、地表面の変化、すべり面などがあり、測定箇所は図-1に一例を示す。各実験終了ごとに含水比と単位体積重量を測定した。

4. 試験結果および考察 試験結果の一部を表-3、図-2、図-3に示した。ここでは主に破壊の進行と破壊形状について報告する。図-2は盛土斜面に生じたすべり線を示す。コンクリート、ガラス両側壁の近傍では、摩擦による影響と思われるすべり線が認められる。その影響は両壁から15~20cm位までと考えられ、中央付近ではその影響はほとんどない。またSS-1, 2, 4, LS-3の場合複数個のすべり線が観測されたが、完全に連続したすべり面となり、これらは最も法肩に近い部分にあらわれたすべり線である。図-2にはそれを実線で示す。SS-4は底部破壊を生じた。他はすべて斜面内破壊である。

図-3はガラス面から観測した破壊形状図である。点線は中央断面のすべり線を示す。SS-4, LS-3のガラス面のすべり線とは非常に異なっており、摩擦の影響があることがここで示される。

すべり面は、理論的には法肩に遠い方の載荷板端より発して主衝撃域、遷移領域、受衝撃域の外周をつなねた線であるといわれるが、実験によると、ほとんど法肩に近い載荷板端からすべり線が発生している。これは載荷板の沈下が非常に大きいため(破壊までに11~30cm沈下)法肩に遠い部分の載荷板直下から生じたすべり面は、載荷板直下の土が圧縮され、せん断強度が増加したために成長しきらなかつたと思われる。破壊の進行状態は、LS-2の場合、載荷重3.0t(Re75%)で法肩から15cm所引張りキレツが発生し、3.5tまでさらにこれが発達、4.0tで一分後、ガラス面に小さなキレツが観察され、12分後激しく破壊した。現在の定安解析の考え方は、この観測結果から不合理であることがわかった。

5. まことに今後さらに実験を重ねて、斜面の崩壊機構についての研究を進めていきたい。

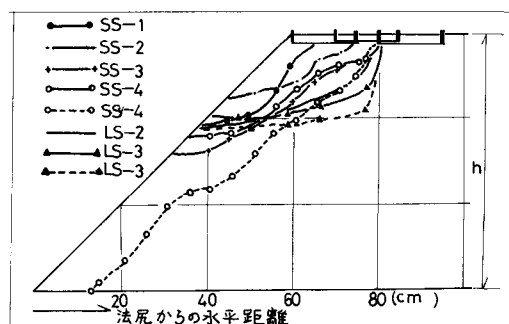


図-3 ガラス面に生じたすべり線

| 供試体番号 | SS-1 | SS-2 | SS-3 | SS-4 | SSの平均 | LS-1 | LS-2 | LS-3 | LSの平均 |
|--------------------------------------|------|------|------|------|-------|------|------|------|-------|
| 湿潤密度 γ_w (kg/m^3) | 1.60 | 1.60 | 1.62 | 1.61 | 1.61 | 1.76 | 1.77 | 1.62 | 1.72 |
| 乾燥密度 γ_d (kg/m^3) | 1.45 | 1.46 | 1.48 | 1.47 | 1.47 | 1.48 | 1.50 | 1.40 | 1.46 |
| 含水比W(<%) | 10.4 | 9.7 | 9.0 | 9.8 | 9.7 | 19.6 | 18.1 | 15.9 | 17.9 |
| 飽和度S(<%) | 33.6 | 31.7 | 30.3 | 32.5 | 32.1 | 63.9 | 61.4 | 45.9 | 57.1 |
| 剛性比E _c (%) | 0.82 | 0.81 | 0.77 | 0.80 | 0.80 | 0.79 | 0.80 | 0.93 | 0.84 |
| 破壊荷重 P_f (t) | 2.97 | 3.51 | 4.25 | 4.50 | — | 4.50 | 4.00 | 4.61 | 4.37 |
| 破壊強度 σ_f (kg/cm^2) | 297 | 260 | 315 | 333 | — | 3.03 | 2.59 | 3.04 | 2.92 |

表-3 破壊試験結果

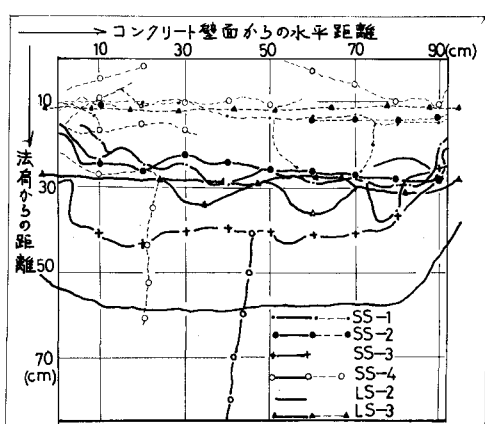


図-2 盛土斜面に生じたすべり線